КРАТКИЕ СООБЩЕНИЯ

NAK 550.8327

Ю Б. ТАВЫДОВ. В. Ф КУЗИН

ПРЯМАЯ ЗАДАЧА НЕПТРОННОАКТИВАЦИОННОГО КАРОТАЖА НА ФТОР С УЧЕТОМ ВЛИЯНИЯ СКВАЖИНЫ

При разведке месторождений плавикового шпата, фосфоритов и апатитов для подсчета запасов фторсодержащих полезных ископаемых широко используется нейтронный активационный каротаж на фтор с использованием интегральной [1, 2] и спектрометрической [6, 7] аппаратуры. Успехи, достигнутые в области пражтического определения содержания фтора по данным нейтронноактивационного каротажа, требуют дальнейшего развития теории метода. С этой целью в работах [4, 5] было исследовано пространственное распределение наведенного гамма-излучения в среде с перемешным содержанием фтора для случая, когда влиянием скважины можно пренебречь. С целью увеличения точности подсчета запасов фтора представляет интерес теоретическая разработка особенностей активационного каротажа на фтор с учетом влияния скважины.

Ниже рассматривается прямая задача нейтронного активационпого каротажа на фтор с учетом влияния скважины. Расчетным метоком исследуется влияние скважины на пространственное распределение наведенного гамма-излучения фтора. Задача решается применительно к интегральному варианту метода. Для расчета потока наведенного гамма-излучения используется групповое диффузионное приближение теории переноса проникающего излучения [3].

Задача формулируется следующим образом. Задана гетерогенная двухслойная среда с круговой цилиндрической границей раздела радиусом $r=r_0$ Внутренняя среда ($r < r_0$) относится к скважине и заполнена буровым раствором или водой. Внешняя среда ($r > r_0$) сложена однородной по физическим свойствам горной породой с равномерным распределением фтора, известной плотностью, влажностью и вещественным составом. На оси скважины расположен точечный источник отдетрых нейтронов мощностью Q. Требуется найти пространственное распределение потока гамма-излучения, наведенного в скважине и окружающей ее среде.

При облучении фторсодержащих горных пород нейтронами ампульных источников выход продукта реакции $F^{19}(n,a)N^{16}$ на быстрых нейтронах всегда превосходит выход сопутствующих $F^{19}(n,\gamma)F^{20}$, $F^{10}(n,p)O^{10}$ и интерферирующих $O^{16}(n,p)N^{16}$, N^{16} , N^{16} реакций.

Поэтому для решения задачи достаточно исследовать наведенную активность азота-16, возникающую при облучении среды Po-Be-источником нейтронов.

Принимая среднюю пачальную энергию *Po—Be*-источника нейтронов, равной 5 *МэВ*, и учитывая, что энергетический порог реакции $i^{-19}(\pi,\alpha)N^{16}$ составляет 1,5 *МэВ*, можно считать, что активация осуществляется только на быстрых нейтронах, которые можно объединить в одну группу. Наведенное гамма-излучение азота-16 объединим в дру-ую группу.

Введем цилиндрическую систему координат (г, г, ф) так, чтобы ось говпадала с осью скважины. Тогда перенос наведенного гамма-излучения определяется системой дифферепциальных уравнений [3]:

$$D_{\gamma k} \Delta \Phi_{\gamma k}(r,z) - \Sigma_{\gamma k} \Phi_{\gamma k}(r,z) = -k_0 \Sigma_{nk} \Phi_{nk}(r,z) \delta_{kr} \qquad (1)$$

при граничном условии

$$\Phi_{1k}(r,z) < \infty \tag{2}$$

и условиях сопряжения на границе раздела $r=r_0$

$$\Phi_{\gamma c}(r,z) = \Phi_{\gamma r}(r,z), \qquad (3)$$

$$D_{\tau r} = \frac{\partial \Phi_{\tau r}(r,z)}{\partial r} = D_{\tau r} \frac{\partial \Phi_{\tau r}(r,z)}{\partial r} \,. \tag{4}$$

где k=c, r — индексы, относящиеся к скважине и пласту, $\Phi_{ik}(r,z)$ — поток наведенного гамма-излучения, Δ — оператор Лапласа, D_{ik} , Σ_{ik} — коэффициент диффузии и сечение поглощения наведенного гамма-излучения, $\Phi_{nk}(r,z)$ — поток быстрых нейтронов источника в одногрупповом приближении [4], Σ_{ik} — полное сечение увода первичных нейтронов, k_a — коэффициент активации, который совпадает со средним числом гамма-квантов на акт увода первичного нейтрона из единицы объема среды и определяется выражением $k_a = \Sigma_a \psi/\Sigma_{nr}$, где Σ_a — макросечение реакции $F^{19}(n,\alpha)$ Λ^{16} в диапазоне энергий 1.5-5 $M \ni B$, ψ — выход гамма-квантов на акт (n,α) — реакции, δ_{nr} — символ Кронекера-Вейеріштрасса, равный единице при k=r и нулю при $k \neq r$.

Решение задачи находится путем использования прямого и обратного интегрального преобразования Фурье по z и имеет вид:

$$\Phi_{1k}(r,z) = \frac{2}{\pi} \int_{0}^{\infty} N_{1k}(r,a) \cos az da, (k=c,1),$$
 (5)

где

$$N_{\gamma c}(r, z) = \beta_{\gamma c}(z) I_0(\mu_{\gamma c} r),$$
 (6)

$$N_{1r}(r, \alpha) = \beta_{1r}(\alpha) K_0(\mu_{1r}r) + \alpha_r \beta_{nr}(\alpha) K_0(\mu_{1r}r),$$
 (7)

$$\beta_{1r}(z) = \frac{1}{\Delta_{\gamma}} [D_{\gamma r} \iota_{\gamma r} K_{1} (\iota_{\gamma r} r_{0}) \times + K_{0} (\iota_{\gamma r} r_{0}) \times'], \qquad (8)$$

$$\beta_{Tr}(\alpha) = \frac{1}{\Delta_{T}} [I_0(\mu_{Te} r_0) \times -D_{Te} \mu_{Te} I_1(\mu_{Te} r_0) \times], \qquad (9)$$

$$x = \alpha_r \beta_{nr}(2) K_0 (\mu_{nr} r_0),$$
 (10)

$$x = -D_{1r} \mu_{nr} + \beta_{nr}(\alpha) K_1 (\mu_{nr} r_0), \qquad (11)$$

$$\beta_{nr}(\alpha) = \frac{Q}{4\pi\Delta_n r_0},\tag{12}$$

$$\Delta_{1} = D_{1r} \mu_{1r} I_{0} (\mu_{1r} r_{0}) K_{1} (\mu_{1r} r_{0}) + \\
+ D_{2r} \mu_{1r} K_{0} (\mu_{1r} r_{0}) I_{1} (\mu_{1r} r_{0}),$$
(13)

$$\Delta_n = D_{nr} \mu_{nr} I_0 (\mu_{nc} r_0) K_1 (\mu_{nr} r_0) +$$
 (14)

+ Dnc unc Ko (unc ro) /1 (unc ro).

$$\alpha_r = \frac{\Sigma_a \,\mu}{D_{\gamma r} \left(\chi_{\gamma r}^2 - \chi_{nr}^2 \right)} \,, \tag{15}$$

$$y_{1k}^2 = a^2 + \dots (k = c, r), \quad y_{2k} = a^2 + x_{nk} (k = c, r)$$

$$x_{1k}^2 = \frac{1}{D_{1k}} (k = c, r), \quad x_{2k} = \frac{1}{D_{nk}} (k = c, r).$$

Здесь D_{nk} — коэффициент диффузии быстрых нейтронов в k-ой среде, $I_n(x)$, $K_n(x)$ — модифицированные функции Бесселя первого и второго рода, порядка у.

Важным следствием полученного решения является случай малого влияния скважины, возгикающий при $\iota_0 \longrightarrow O$. Выполняя указанный предельный переход, получаем следующее выражение для пространственного распределения наведенного гамма-излучения в бесконечной однородной фторсодержащей среде:

$$\Phi_{\gamma r}(r,z) = \frac{k_a Q}{4\pi \Sigma_{\gamma r}} \frac{\chi_{\gamma r}^2 \chi_{nr}^2}{\sqrt{r^2 + z^2}} \left[\frac{e^{-\chi_{\gamma r}} \sqrt{r^2 + z^2}}{\chi_{nr}^2 - \chi_{\gamma r}^2} + \frac{e^{-\chi_{nr}} \sqrt{r^2 + z^2}}{\chi_{\gamma r}^2 - \chi_{nr}^2} \right] .$$
(16)

Максимальной величины поток наведенного гамма-излучения достигает в начале координат в точке $r \to 0$. Выполняя в выражении [16] предельный переход $r \to 0$, получаем оценку максимальной величины наведенной активности азота—16 в виде

$$\Phi_{\gamma r}(0,0) = \frac{k_a Q}{4\pi \Sigma_{\gamma r}} \frac{\chi_{\gamma r}^2 \chi_{nr}^2}{(\chi_{nr} + \chi_{\gamma r})}.$$
 (17)

Анализ пространственного распределения наведенного гамма-излучения фтора выполнен расчетным методом для следующих условий и мерения. Сухая силикатная среда, плотпостью 2,7 г/с u^3 , содержащая 1% флюорита, пересечена скважиной радиусом $r_0=6$ см. Скважина за

полнена водой. Начальный порог регистрации наведенного гамма-излучения азота-16 принят равным 150 $K \ni B$. Поперечное сечение реакции $F^{19}(n,\alpha)$ N^{16} для нейтронов Po-Be источника в диапазоне энергий от 1,5 до 5 $M \ni B$ принято равным 130 ибари. При этом макросечение активации равно $\Gamma_a = 6.42 \ 10^{-5} \ cm^{-1}$ на 1% CaF_2 .

На рис. 1 приведены результаты расчета пространственного распределения наведенного гамма-излучения азота-16. Анализ результатов рас-

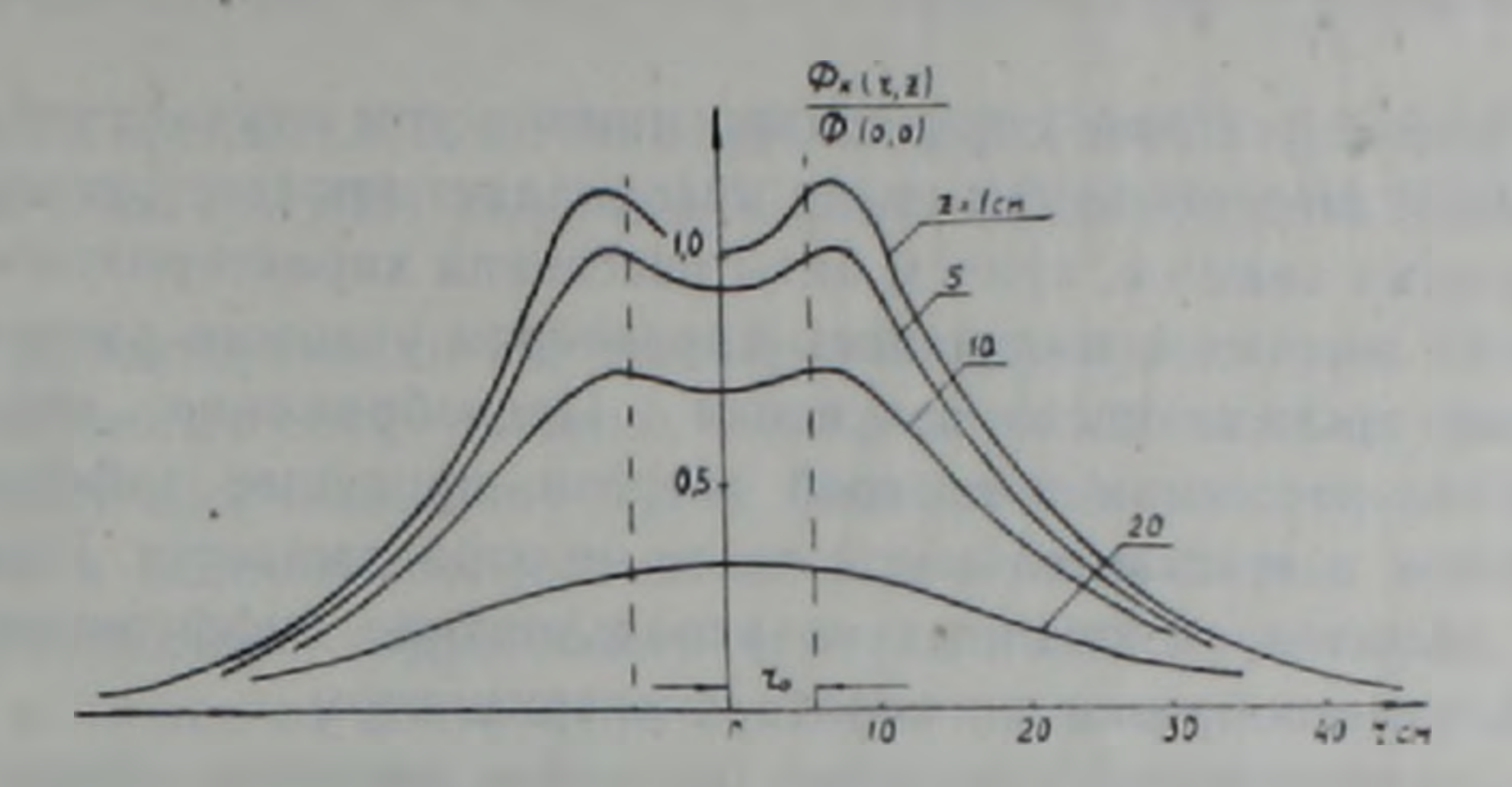


Рис. 1. Пространственное распределение наведенного гамма-излучения азота-16 в силикатной среде, пересеченной обводненной буровой скважиной.

чета позволяет сделать следующие выводы. Наличие обводненной скважины приводит к интенсивному ослаблению наведенного гамма-излучения в скважине. Максимальной величины поток достигает в области,

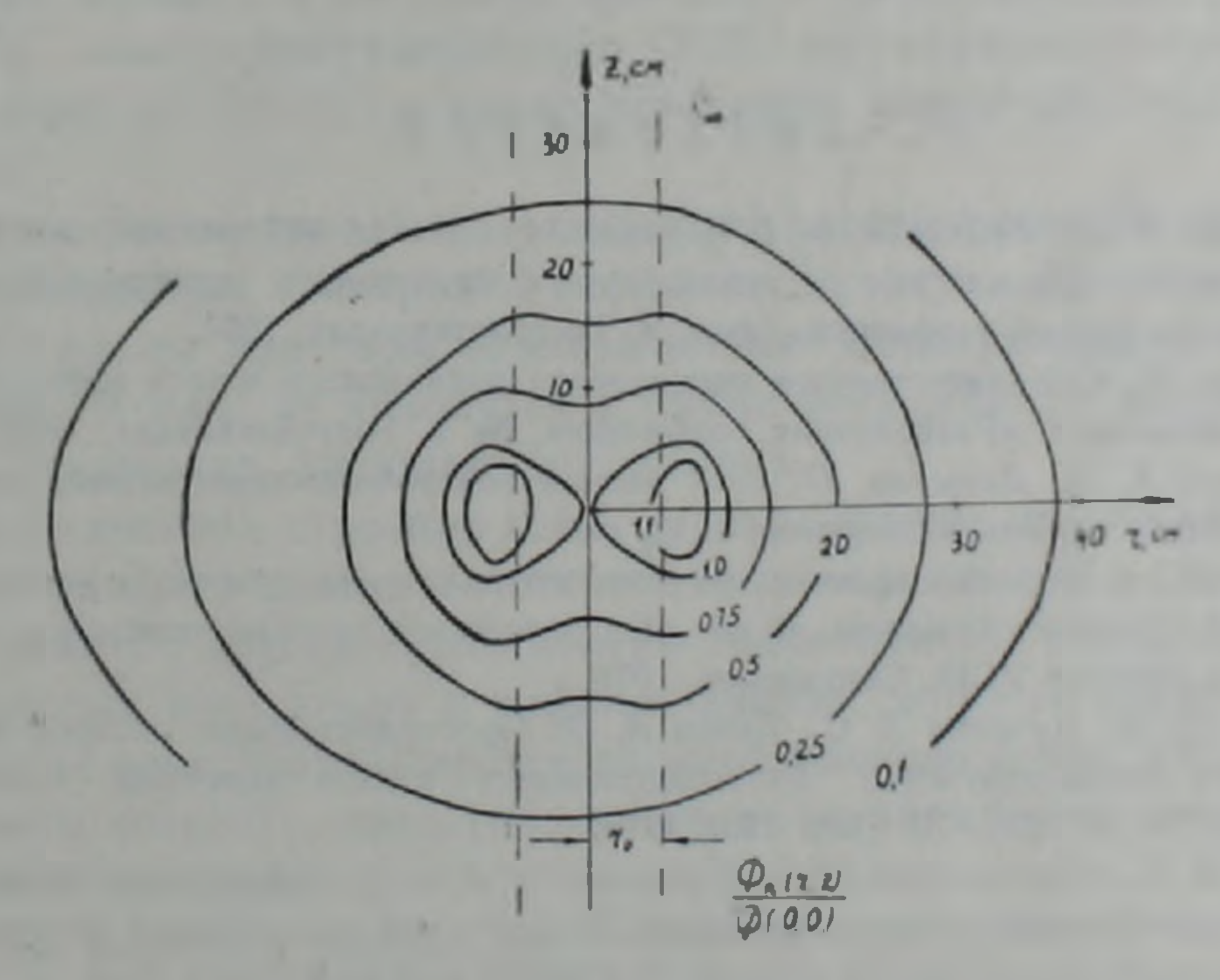


Рис. 2. Радиальное распределение наведенного гамма-излучения азота-16 в системе скважина—пласт.

расположенной напротив источника нейтронов у стенки скважины в окружающей ее среде. Это обстоятельство может служить обоснованием

методических рекомендаций о применении нулевых зондов и прижимных устройств при нейтронно-активационном каротаже на фтор.

Радиальное распределение потока наведенного гамма-излучения, приведенное на рис. 2, позволяет получить наглядное представление о пространственной локализации наведенного гамма-излучения на различном расстоянии от источника нейтронов. Из рисунка видно, что дефицит наведенного гамма-излучения в скважине наблюдается только в окрестности источника и при удалении от него на расстояние больше 20 см исчезает.

Полученное решение справедливо лишь в том случае, когда в рам-ках заданных энергетических групп преобладает процесс рассеяния нейтронов и гамма-квантов, причем акты рассеяния характеризуются малыми потерями энергии и изотропным характером углового распределения рассеянного проникающего излучения. Пренебрежение корреляцией между углом рассеяния и потерей энергии, присущее диффузионному приближению, в действительности часто не оправдывается. Поэтому результаты расчетов, основанных на использовании диффузионного приолижения, целесообразно проверять экспериментом.

В условиях буровой скважины рассеяние является основным процессом, ответственным за перенос проникающего излучения, поэтому полученное в настоящей работе решение задачи по крайней мере качественно соответствует действительности.

Читинский политехнический институт, Свердловский горный институт

Поступила 24.1.1980.

ЛИТЕРАТУРА

- 1. Бардовский В. Я. Колпаков В. В. Применение метода нейтронной активации для выделения рудных зон в скважинах флюоритового месторождения В сб. «Вопросы рудной геофизики», вып. 3, Госгеолтехиздат, 1961.
- 2. Бардовский В. Я. Количественное определение плавикового шпата методом наведенной активности. «Разведочная геофизика», № 1, Гостоптехиздат, 1964.
- 3. Возжеников Г. С., Давыдов Ю. Б. К теории нейтронноактивационных измерений в скважинах. «Атомная энергия», т. 42, вып. 3, 1977.
- Давыдов Ю. Б. О распределении нейтронного излучения точечного источника в условиях буровой скважины. В сб. «Геофизические метолы поисков и разведки», вып. 4, издание УПИ, Свердловск, 1978.
- 5. Давыдов Ю. Б., Кучурин Е. С., Кузин В. Ф. Пространственное распределение наведенного гамма-излучения фторсодержащего пласта конечной мощности. М., ВИНИТИ, № 3256—79. Деп. 10.09.1979.
- 6. Кошелев И. П., Крисноперов В. А., Шишикин О. В. и др. Применение активационного спектрометрического гамма-каротажа по азоту—16 при разведке фторсодержаще-го сырья. В сб. «Вопросы рудной геофизики в Казахстане», вып. П. Алма-Ата, 1968.
- 7. Кошелев И П. Красноперов В. А., Шишакин О. В и др. О выборе режимов измерений при спектрометрическом активационном каротаже на фтор. В сб. Вопросы разведочной геофизики», выл. П. «Недра», 1969.